

§4 Constrained shortest paths (CSP)

4.1 Komplexität

4.1 Proposition: Das CSP ist schwach NP-vollständig

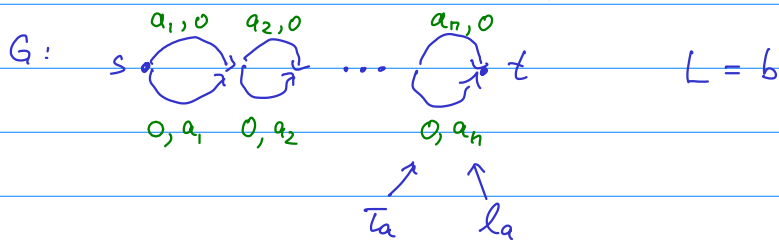
Beweis: Reduktion von PARTITION

Geg: $a_1, \dots, a_n \in \mathbb{N}$ mit $\sum a_i = 2b \quad b \in \mathbb{N}$

Frage: $\exists ? \text{ Indexmenge } I \subseteq \{1, \dots, n\} \text{ mit } \sum_{i \in I} a_i = b$

Sei I Instanz von PARTITION

Konstruiere hieraus Instanz I' von CSP



Frage: $\exists ? \text{ Weg } P \text{ von } s \text{ nach } t \text{ mit } \tau(P) \leq L, l(P) \leq L$

Typischer Weg kanten oben $\rightarrow \tau(P)$
 kanten unten $\rightarrow l(P)$

$$l(P) + \tau(P) = 2b$$

\Rightarrow Weg hat $l(P) \leq b, \tau(P) \leq b \Leftrightarrow$ Weg beschreibt eine Lösung
von PARTITION \square

4.2 CSP kann in pseudopolynomialer Zeit gelöst werden

4.1

Beweis: Aufgabe 4.1

- 4.2 Lösungsansätze
 - 1) Beasley & Christofides '89 : Lagrange Relaxation und Branch & Bound
 - 2) Labeling Algorithmus (erweiterter Dijkstra)
Verwandtschaft zu Pareto-optimalen Wegen

3) Geometrisch (Mehlhorn & Ziegelmann 2000)

4.2.1 Der Ansatz von Beasley & Christofides

Brauch & Braud Baum $\hat{=}$ IP - Formulierung

\hookrightarrow untere Schranken durch Lagrange Relaxation

$$\begin{aligned} \min \tau(P) \\ \text{so dass } l(P) \leq L \\ P \text{ ist } s,t\text{-Weg} \end{aligned}$$

↔ in Zielfkt.

$$(LR_\mu) \quad \min \underbrace{\tau(P) + \mu(l(P) - L)}_{\sum_{a \in P} (\tau_a + \mu l_a) - \mu L} =: \Lambda(\mu) \quad \mu \geq 0$$

$$\sum_{a \in P} (\tau_a + \mu l_a) - \mu L$$

konstant unabh. vom Weg

\downarrow
P s,t-Weg

kleinste Wege Problem mit veränderlichen Kantenkosten $\tau_a + \mu l_a$

Sei P^* opt. Lösung des CSP und $\tau^* := \tau(P^*)$

Dann gilt (1) $\Lambda(\mu) \leq \tau^* \quad \forall \mu$

Opt. für LR_μ ist untere Schranke für Opt. vom CSP

$$(2) \quad \Lambda^* := \max_{\mu \geq 0} \Lambda(\mu) \leq \tau^*$$

bestmögliche untere Schranke durch Lagrange Relaxation

mit Subgradientenlinien verfolgen

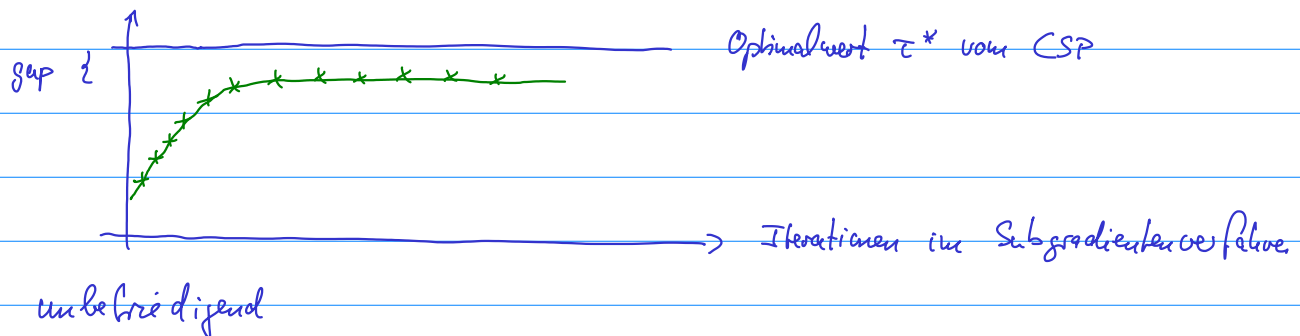
- Ist P_{μ_0} kleinste Weg in LR_{μ_0} , so ist $l(P_{\mu_0}) - L$ (relaxierte Rel.) ein Subgradient in μ_0 zu $\Lambda(\mu)$
- Gehe Schritt in diese Richtung $\mu^{neu} = \mu^{alt} + \theta (l(P_{\mu^{alt}}) - L)$

- neue Kantenbewertung $\bar{c}_e + \mu^{\text{neu}} l_e$

Unterschiede in Kantenbewertung pro Iteration $(\mu^{\text{neu}} - \mu^{\text{alt}}) l_e$

dieselbe Zahl für alle Kanten
ungünstig

typischer Verlauf:



4.2 Aufgabe 4.2

$$\left. \begin{array}{l} P \text{ Optimallösung von } (LR_\mu) \\ \text{mit } l(P) \leq L \end{array} \right\} \xrightarrow[?]{\downarrow \text{Kriterien}} P \text{ Opt. für CSP}$$

4.3 Aufgabe 4.3

$\bar{c}^* - \lambda^*$ heißt Dualitätslücke. I.e. ist die Lücke positiv

$$\begin{array}{ccc} \uparrow & \uparrow & \\ \text{Opt. Wert} & \text{Opt. Wert} & \\ \text{von CSP} & \text{der LR}_{\mu} \text{ für bestes } p \end{array}$$

4.2.2 Pareto-optimale Wege

Geg: $G = (V, A)$ s.t. $e \in V$

Für jede Kante a ein Bewertungsvektor $\lambda(a) = \begin{pmatrix} \lambda_1(a) \\ \vdots \\ \lambda_r(a) \end{pmatrix} \geq 0$

Länge $\lambda(P)$ eines Weges ist $\lambda(P) := \sum_{a \in P} \lambda(a)$ (Vektoraddition)

$$= \begin{pmatrix} \sum_{a \in P} \lambda_1(a) \\ \vdots \\ \sum_{a \in P} \lambda_r(a) \end{pmatrix}$$

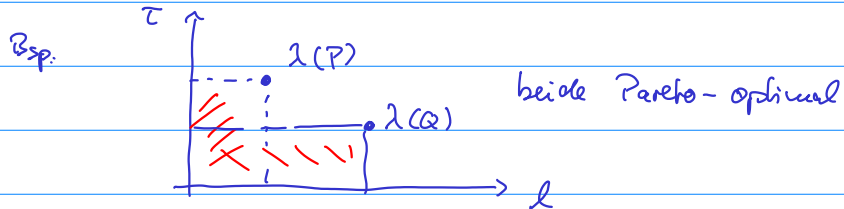
↑
hier allgemeiner Operatoren möglich
 Σ, \max, \dots

Gesucht: alle Pareto-optimalen Wege

P heißt Pareto-optimal

$\Leftrightarrow \nexists$ Weg P' mit $\lambda(P') \leq \lambda(P)$ und $\lambda_i(P') < \lambda_i(P)$ für ein i

↑
komponentenweise
(keine Dominanz)



Der Dijkstras Algorithmus für Pareto-optimalen Wege

Wiederholung: Dijkstras für kürzeste Wege ($\lambda_a \geq 0$)

- berechnet für jeden Knoten eine Distanz $d[v]$
 - = Länge kürzester Weg von s zu v
 - + einen Knoten Vorgänger $[v]$, der Vorgänger von v auf kürzesten Weg von s zu v ist
- Werte $d[v]$, Vorgänger $[v]$ zunächst verlängert
 - Im Bsp werden Knoten "markiert", für markierte Knoten sind diese Werte entgültig

Initialisierung : $d[v] := \begin{cases} 0 & v = s \\ \lambda_{(s,v)} & \text{falls Kante } (s,v) \text{ exist.} \\ \infty & \text{sonst} \end{cases}$

Vorgänger [v] := $\begin{cases} s & \text{falls } (s,v) \text{ Kante} \\ \text{nil} & \text{sonst} \end{cases}$

nur s markiert

Hauptschleife

while \exists unmarkierten Knoten do

wähle unmarkierten Knoten v mit kleinstem $d[v]$

markiere v

for alle Kanten (v,w) mit unmarkiertem w do

if $d[v] + \lambda_{(v,w)} < d[w]$ then

$$d[w] := d[v] + \lambda_{(v,w)}$$

$$\text{Vorgänger}[w] := v$$

end if

end for

end while

Variation des Dijkstras Algo für Pareto-optimale Wege [Theorie 95]

statt $d[v]$ r-dim Vektoren $d[v] = \begin{pmatrix} d_1[v] \\ \vdots \\ d_r[v] \end{pmatrix}$ $d_k[v]$ bzgl. λ_k

In jedem Knoten mehrere $d[v]$ möglich

$\hat{=}$ bisher ermittelten Pareto-optimalen s,v - Wegen

Initialisierung $d[v] := \begin{cases} \begin{pmatrix} 0 \\ \vdots \\ 0 \end{pmatrix} & \text{falls } v = s \\ \lambda_{(s,v)} & (s,v) \text{ Kante} \\ \begin{pmatrix} \infty \\ \vdots \\ \infty \end{pmatrix} & \text{sonst} \end{cases}$

Markierung Knoten \rightarrow Markierung von Vektoren $d[v]$

Regel: Wähle lexikographisch kleinste unmarkierte Vektor $d[v]$ als nächsten zu markierenden Vektor

Aktualisierung der $d[w]$

Betrachte zu gewählten $d[v]$ alle Kanten (v, w)

nehme $d[v] + \lambda_{(v,w)}$ zu den bereits in w abgespeicherten Vektoren hinzu und streiche nicht Pareto-optimale und aktualisiere ggf Vorgänger $[d[w]] \leftarrow$ jetzt haben Vektoren Vorgänger

Anfangs nur $d[s]$ markiert

Hauptschleife

while \exists unmarkierten Vektor $d[v]$ do

 wähle lexikographisch kleinste unmarkierte Vektor $d[v]$

 markiere diesen Vektor

 Sei v der zugehörige Knoten

for alle Kanten (v, w) do

 nehme $d[w] := d[v] + \lambda_{(v,w)}$ zu den Vektoren von w hinzue

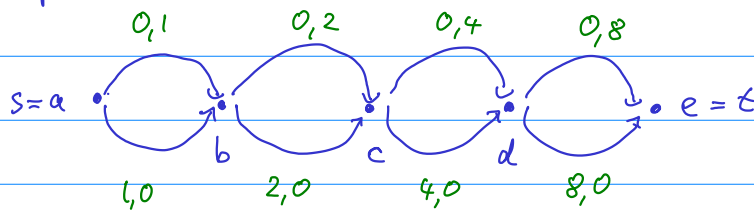
 streich nicht Pareto-optimale bei w

 falls $d[w]$ nicht gestrichen wird, so setze Vorgänger $[d[w]] := d[v]$

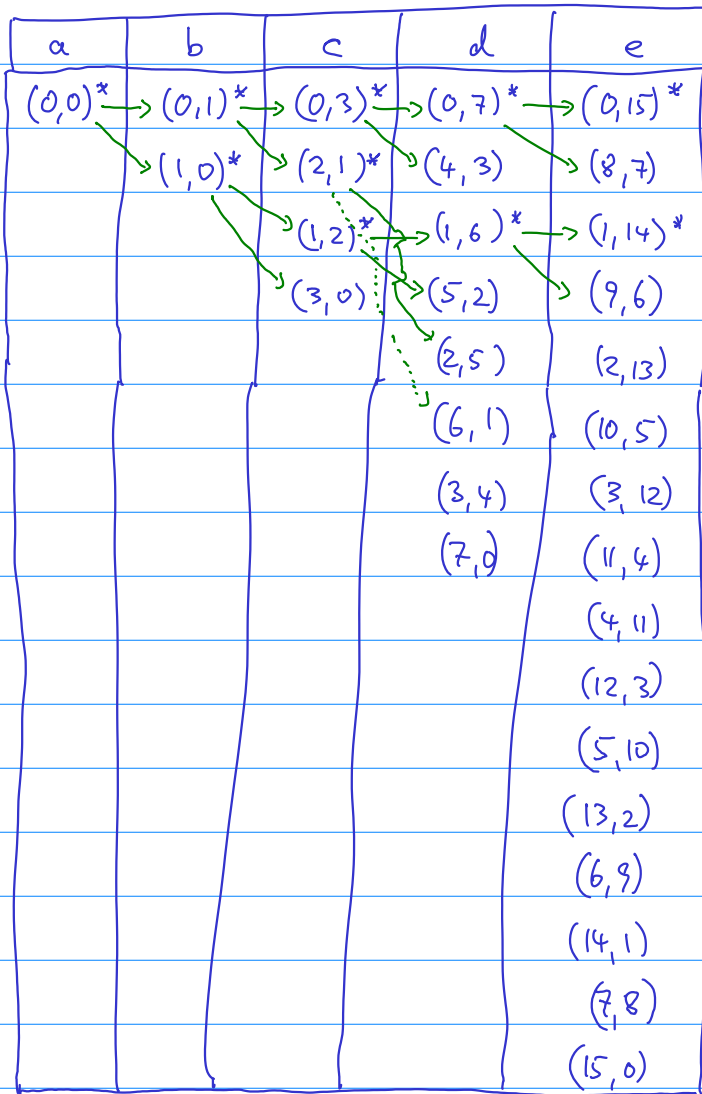
end for

end while

Bsp:



Pareto Optimal



$\hat{*} \hat{\wedge}$ markiert

$\rightarrow \hat{1}$ Vergänger

exponentielles Wachstum

der # der Pareto - Optimal

\Rightarrow exponentielle Logarithmus

Korrektheit analog zum normalen DijkstraAlg per Induktion

nach # Markierungen

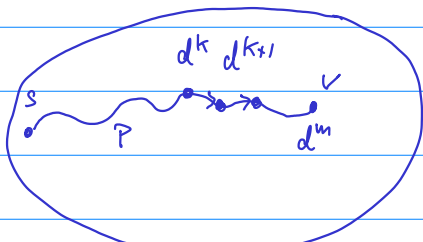
Zeigen folgende Invarianz:

Sobald Vektor markiert, gehört er zu der Menge
des Pareto Optimal im zugehörigen Knoten

Beweis: Betrachte den Zeitpunkt, in dem $d[v]$ zur Markierung gewählt wird

Ann: $d[v]$ nicht Pareto-optimal in v

$\Rightarrow \exists$ Pareto-opt Weg P von s nach v mit $\lambda(P) \leq d[v]$



P Pareto-optimal, $\lambda \geq 0$

\Rightarrow Anfangsstücke von P ebenfalls
Pareto-optimal

(*)

Seien $s = v_1, v_2, \dots, v_m = v$ die Zwischenknoten auf P

und d^1, d^2, \dots, d^m die zugehörigen Pareto-Optima,

also $d^i = d^{i-1} + \lambda_{(v_{i-1}, v_i)}$

Dann ist $\lambda(P) = d^m \leq d[v]$

Sei d^k der letzte Vektor auf P , der bereits markiert ist zum Zeitpunkt
der Auswahl von $d[v]$ (exist., da $d^1 = d[s]$ bereits markiert)
 $\Rightarrow k < m$, da sonst $d^m \leq d[v]$ bereits bei v markiert würde
und $d[v]$ gestrichen würde

\Rightarrow zum Zeitpunkt der Markierung von d^k wird $d^{k+1} = d^k + \lambda_{(v_k, v_{k+1})}$
zu v_{k+1} hinzugefügt (und ist Pareto-optimal wegen $(*)$)

und bleibt unmarkiert bis zur Wahl von $d[v]$ (nach Wahl des Index k)

\Rightarrow Dann ist $d^{k+1} \leq d^m \leq d[v]$

$\Rightarrow d^{k+1} \prec_{lex} d[v]$ und d^{k+1} unmarkiert

\Rightarrow Widerspruch zur Auswahlregel

\Rightarrow Jeder markierte Vektor ist Pareto-optimal

Analoger Beweis: jedes Pareto-Optimum wird im folgenden konstruiert \square

Frage: Wie groß wird die # der Pareto Optima

Annahme $\lambda_k(a) \in \mathbb{Z}_+$

$L_k(v) :=$ maximale Weglänge (elementare Weg) von s nach v

E.g. λ_k

$\text{pareto}(v) :=$ # Pareto Optima in v

\Rightarrow $\boxed{\text{pareto}(v) \text{ ist polynomial in } n, \text{ falls } \lambda_k(a) \text{ polynomial in } n \text{ und } r}$
fest ist \Rightarrow Pareto Dijkstra polynomial

$$\text{denn: } \text{pareto}(v) \leq \prod_{k=1}^r L_k(v) \leftarrow \text{polynomial unte der obigen Annahme}$$

$$\text{etwa: } L_k(a) \leq n^p \Rightarrow L_k(v) \leq (n-1)n^p \leq n^{p+1}$$

$$\Rightarrow \text{perito}(v) \leq n^{(p+1)r}$$

$$\text{ode} \quad \lambda_k(a) \leq L_0 \Rightarrow \text{pareto}(v) \leq ((n-1)L_0)^{-1}$$

erfüllt in Straßenzügen (≤ 1000 m) $n \approx 10.000$ in Berlin

=> lex. kleinstes Pareto-optimum, das die Längenbeschränkung einhält
 ist Optimallösung des CSP
 (Abbrechen wenn zum ersten Mal ein Vektor in t markiert wird)

Praktische Erfahrung

2 Subgradientensätze \geq Pareto-Dykstra

1

Laufzeit

1

angenähernde Lösung

Ophiruncle

4.3 Approximation Pareto-optimaler Wege

1. Gewichtete Summe der Kriterien (Jaffe et al '84)

Zulässigkeitsproblem : Gegeben : L_1, \dots, L_r

Gesucht: Weg P mit $\lambda(P) \leq \begin{pmatrix} L_1 \\ \vdots \\ L_r \end{pmatrix}$

Kürzeste Wege Problem lsg. $\lambda'(q) = \alpha_1 \lambda_1(q) + \dots + \alpha_r \lambda_r(q)$

↑ ↑
Gewichte, die von L_1, \dots, L_r abhängen

i.e. nur schlechte Approximationen

Bsp. $\alpha_1 \leq \alpha_2 \Rightarrow (0, 15)$ wird im Bsp. berechnet
schlecht für $L_1 = 7, L_2 = 8$

allgemein gilt: [Theorie 95]

Sei P^* Pareto optimal mit $\lambda(P^*) \leq \begin{pmatrix} L_1 \\ \vdots \\ L_r \end{pmatrix}$

Sei P^1 der ergl. λ^1 mit $\alpha_1 = \dots = \alpha_r = 1$ berechnete kürzeste Weg

$$\Rightarrow \max_k \lambda(P^1) \leq \max_k L_k \quad (\text{i.d. scharf})$$

im Bsp ist für $\alpha_1 = \alpha_2$ der Weg P^1 über die oberen Kanten ein kürzester
Bzgl. λ^1 und $\max_k \lambda(P^1) = 15 \leq 2 \cdot \max \{7, 8\} = 16$

2. Einfache Skalierung der Längen [Theorie '95]

Skaliere $\lambda(a) = \begin{pmatrix} \lambda_1(a) \\ \vdots \\ \lambda_r(a) \end{pmatrix}$ auf den wenigen wichtigen Kriterien



$$\lambda^1(a) = \left(\lambda_1(a), \left\lfloor \frac{\lambda_2(a)}{\alpha} \right\rfloor, \dots, \left\lfloor \frac{\lambda_r(a)}{\alpha} \right\rfloor \right)^T \quad \alpha > 1$$

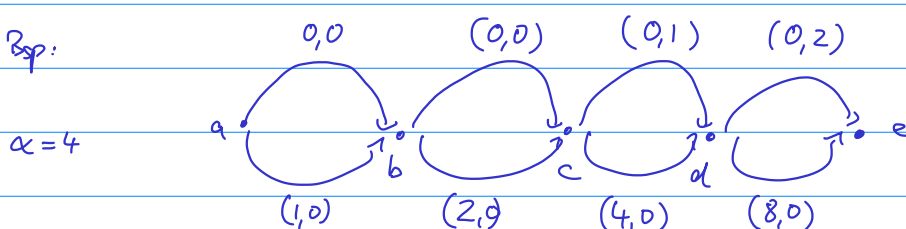
$\Rightarrow \text{pareto}(v)$ wird kleiner

Skalierung erhält lexikographische Ordnung

\Rightarrow Berechnete Pareto optimale Wege Bzgl. λ^1

sind "naher" Pareto-optimale Wege Bzgl. λ

Bsp.:



Pareto Optima Bsp 2'				
a	b	c	d	e
(0,0)	(0,0)	(0,0)	(0,1)	(0,3)
			(4,0)	(8,1)
				(4,2)
				(12,0)

zugehörige Pareto Optima Bsp 2				
a	b	c	d	e
(0,0)	(0,1)	(0,3)	(0,7)	(0,15)
			(4,3)	(8,7)
				(4,11)
				(12,3)

ergibt Teilmenge γ der Menge X
aller Pareto Optima Bsp 2

Genauer:

zu Pareto-Optimalen Weg P mit Bewertung $d \in X$

exist. Pareto-optimaler Weg P' mit Bewertung $d' \in \gamma$

$$\text{mit } |d_k - d'_k| \leq l \cdot (\alpha-1) \quad k=1, \dots, r$$

↑

Kanten von P'

← pessimistisch

aber scharf

$$\text{Bsp: } d = (9,6) \rightsquigarrow d' = (8,7)$$

$$d = (13,2) \rightsquigarrow d' = (12,3)$$

3. Ein voll-polynomiales Approximationsschema [Hassin 92] für CSP

(CSP) Gegeben: Digraph $G = (V, A)$, $s, t \in V$

Kantenbewertungen τ_a, ℓ_a , Längenschränke L , alle aus \mathbb{Z}_+

Gesucht: s, t -Weg P mit $\tau(P)$ minimal unter $\ell(P) \leq L$

Annahme: Kennen den Optimalwert τ^* eines besten Längengeschränkten s, t -Wegs

Idee: Legen in jedem Knoten Schubfächer der Länge $\frac{\tau^*}{(n-1)/\epsilon}$ für Labels (= Vektoren) an, die das Intervall $[0, (1+\epsilon)\tau^*]$

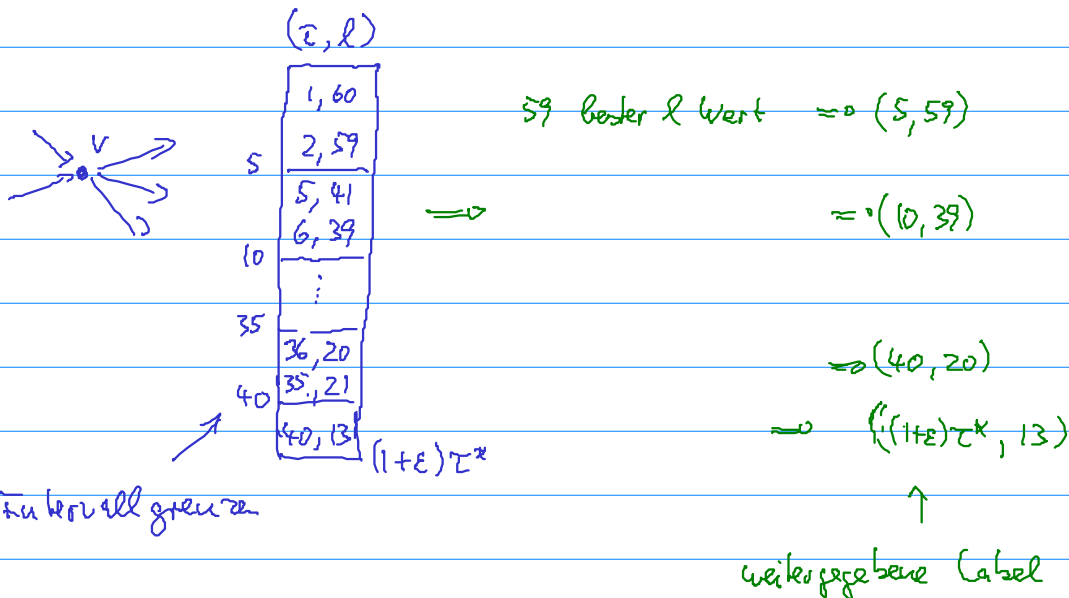
äquidistant unterteilen, bis auf das letzte.

In Schubfach i : alle Labels von v mit τ -Wert im Intervall

$$[(i-1) \cdot \frac{\tau^*}{(n-1)/\varepsilon}, i \cdot \frac{\tau^*}{(n-1)/\varepsilon}]$$

Algorithmus: ε -Schubfach Dijksta

- Gehe vor wie bei Pareto-Dijkstra für Längenbeschränkung
- Trick:
 - gebe pro Schubfach nur ein Label weiter, und zwar das bzgl. ℓ -Wert beste Label (sofern $\ell \leq L$)
 - runde den τ -Wert des Labels auf die obere Grenze des Schubfachs
- Wähle am Ende den Weg mit kleinstem τ -Wert



Gefundener Weg ist rellässig bzgl. Längenschranke, aber i.A. nicht minimal bzgl τ

Algorithmus hat nur 1 Label pro Schubfach

$$\Rightarrow \leq (1+\varepsilon)\tau^* / \left(\frac{\tau^*}{(n-1)/\varepsilon}\right) = \frac{(1+\varepsilon)(n-1)}{\varepsilon} \text{ viele Labels pro Knoten}$$

↑

polynomial in n und $\frac{1}{\varepsilon}$

4.3 Lemma: Der vom ε -Schwefel Dijkstra gefundene Weg ist
längenbeschränkt und hat einen maximal um den Faktor $(1+\varepsilon)$ größerem
 τ -Wert als der kürzeste längenbeschränkte Weg

Beweis: Sei P_ε der vom ε -Schwefel Dijkstra gefundene Weg
und P^* ein optimaler Weg

Der ε -Dijksta macht bei P^* pro Kante einen Runderungsfehler
im τ -Wert \leq Intervalllänge $= \frac{\tau^*}{(n-1)/\varepsilon}$

$$\Rightarrow \text{Gesamtfehler} \leq (n-1) \frac{\tau^*}{(n-1)/\varepsilon} = \tau^* \cdot \varepsilon \quad \text{Bsp. } P^*$$

\uparrow
elementarer Weg

\downarrow Fehler bei P^*

$$\text{Außerdem } \tau(P_\varepsilon) \leq \tau(P^*) \leq \tau^* + \tau^* \cdot \varepsilon = (1+\varepsilon) \tau^*$$

\uparrow da P_ε besserer Weg im ε -Dijksta \square

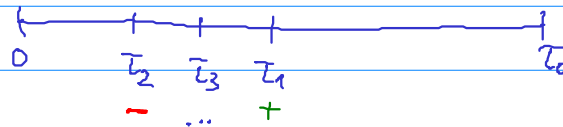
Problem: kennen τ^* nicht!

\Rightarrow binäre Suche verwenden, obere Schranke für τ^* ist $(n-1)\tau_{\max} =: \bar{\tau}$

kein längenbeschränkter Weg für aktuelles τ gefunden

\Rightarrow rechts weiter suchen

Weg gefunden \Rightarrow links weiter



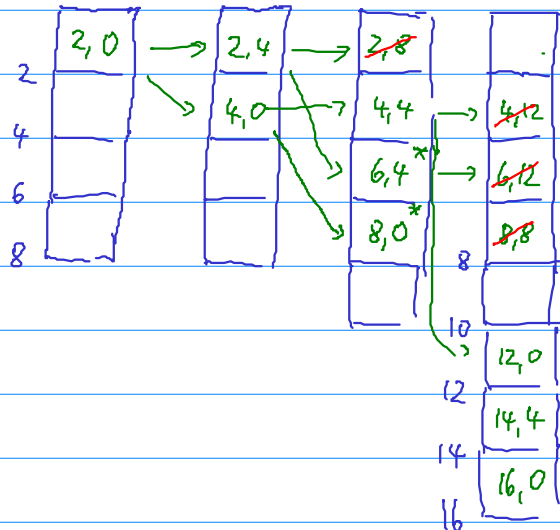
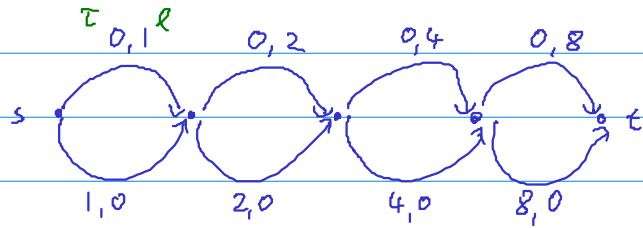
$\Rightarrow \log((n-1)\tau_{\max})$ viele Aufrufe vom ε -Schwefel Dijkstra

\Rightarrow Laufzeit polynomial in $n, \frac{1}{\varepsilon}$

Beispiel vom Pareto Dijksta mit $L=7$, $\tau^*=8$, $\varepsilon=1$

$$\Rightarrow \text{Intervall-Länge } \frac{\tau^*}{(n-1)/\varepsilon} = \frac{8}{4} = 2$$

abzudeckendes Intervall $[0, (1+\varepsilon)\tau^*] = [0, 16]$



$$\hat{\tau} = 12 \leq (1+\varepsilon) \tau^* = (1+1) 8 = 16$$

4.4 Die Zweischnitt-Methode von Mehlhorn & Ziegelmann [2000]

nutzt Weg-basierte IP Formulierung und LP-Relaxation



geometrisch im \mathbb{R}^2 interpretiert

zum Schluß Pseudo-Dijkstra

Primes LP, 0,1 Variable x_p für jeden st-Weg P

$$\tau_p = \sum_{a \in P} \tau_a, \quad l_p = \sum_{a \in P} l_a$$

$$\min \sum_p \tau_p \cdot x_p \quad \leftarrow \tau_p \text{ minimieren}$$

$$\text{unter } \sum_p l_p \cdot x_p \leq L \quad \leftarrow \text{Längensorante einhalten}$$

$$\left. \begin{array}{l} \sum_p x_p = 1 \\ x_p \in \{0,1\} \end{array} \right\} \Rightarrow \text{nur ein Weg in Lösung}$$

LP-Relaxierung

Dualvariable

$$\min \sum_p \tau_p x_p$$

$$\text{unter } \sum_p l_p x_p \leq L \rightarrow - \sum_p l_p x_p \geq -L$$

$$\sum_p x_p = 1$$

$$x_p \geq 0 \quad \leftarrow x_p \leq 1 \text{ wegen } \underbrace{}_{u}$$

Duales LP

$$\max u - Lv$$

$$\text{unter } u - l_p v \leq \tau_p$$

$v \geq 0$, u nicht vorzeichenbeschränkt

Ersatzung $v \rightarrow -v$ ergibt

$$\max u + Lv$$

$$\text{unter } u + l_p v \leq \tau_p \quad \forall p$$

$v \leq 0$, u beliebig

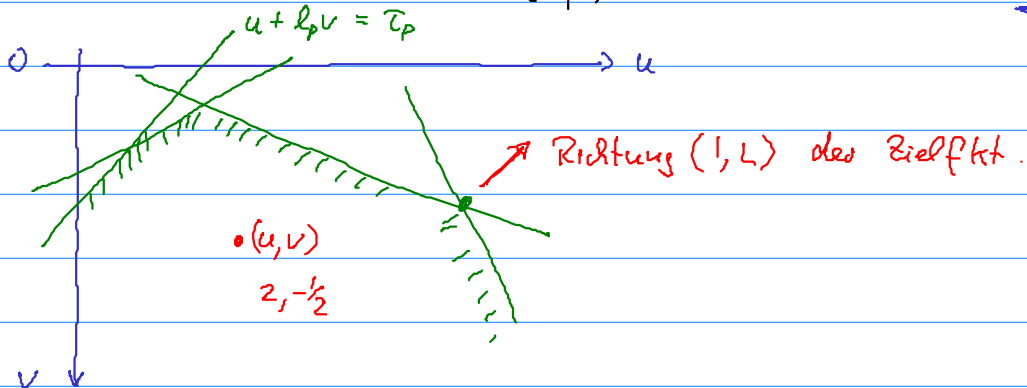
(D)

u,v 2 Variable \Rightarrow Standardinterpretation als 2-dier LP

Nebenbedingungen $\hat{=}$ Halbebenen, geb. durch

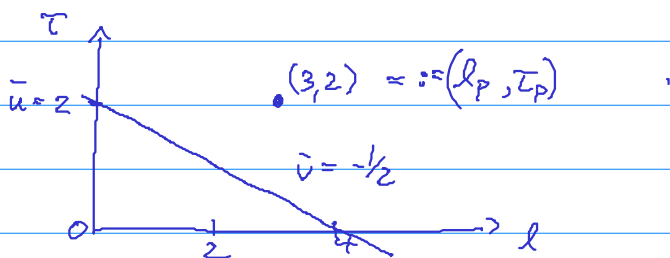
Geraden $u + l_p v = \tau_p$

Werte (u, v) der Dualvariablen $\hat{=}$ Punkte



andere, geometrisch direkte Interpretation

- Paar (u, v) als Gerade $\bar{z} = v \cdot l + u$ in der (l, \bar{z}) -Ebene
- Nebenbedingungen $u + l_p v \leq \bar{z}_p \Rightarrow$ Punkt $(l_p, \bar{z}_p) \hat{=} \text{Pfeol}$
- Ungleichung $\bar{u} + l_p \bar{v} \leq \bar{z}_p$ erfüllt für Paar (\bar{u}, \bar{v})
 \Leftrightarrow Punkt (l_p, \bar{z}_p) liegt oberhalb der Geraden $\bar{z} = \bar{v}l + \bar{u}$



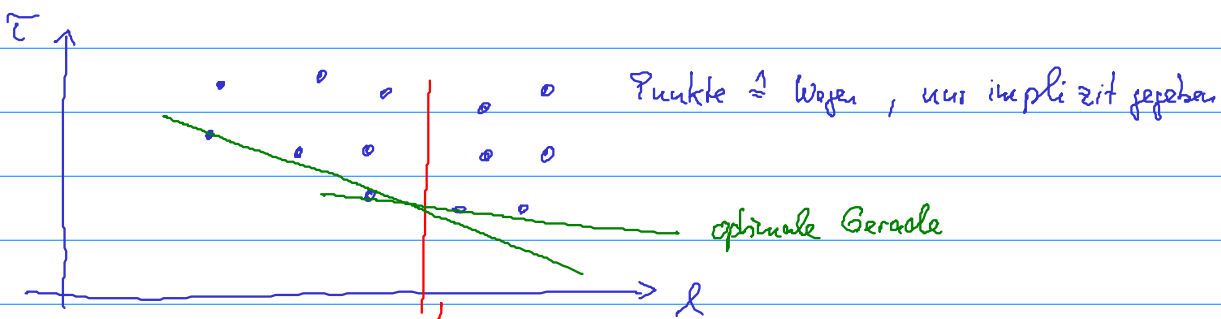
$(\bar{u}, \bar{v}) = (2, -\frac{1}{2})$ definiert die Gerade $\bar{z} = -\frac{1}{2}l + 2$

Punkt $(3, 2)$ liegt oberhalb der Geraden

$$\Leftrightarrow 2 \geq \underbrace{-\frac{1}{2} \cdot 3 + 2}_{0,5}$$

Optimierung $\hat{=}$ Suche nach einem Paar (u^*, v^*) bzw einer Geraden
 $\bar{z} = v^*l + u^*$ mit nicht-positiver Steigung ($v^* \leq 0$)
so dass:

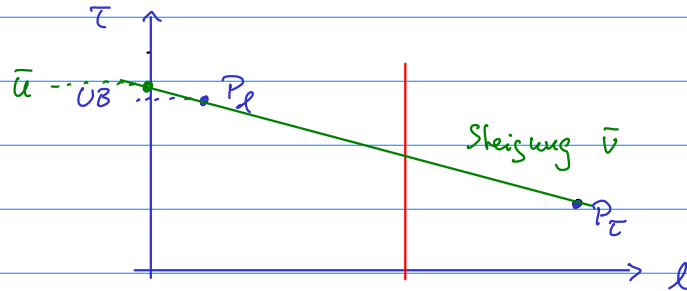
1. alle Punkte (l_p, \bar{z}_p) Pfeol-lieg liegen oberhalb dieser Geraden
2. Der Schnittpunkt der Geraden $\bar{z} = v^*l + u^*$ mit der Geraden $l = L$ ist so groß wie möglich, dann der Schnittpunkt hat den Wert $v^*L + u^* = \text{Zielfkt von } (\mathcal{D})$



untere Einhüllende der implizit ges. Punktmenge bei $\ell = L$
 berechnen
 \uparrow
 geometrische Aufgabe

Konstruktion erfolgt dem "Hüllensatz"

1. Berechne den kürzesten Weg $P_{\ell_{\min}}$ lyf ℓ



if $\ell(P_{\ell_{\min}}) > L$ then return "keine zulässige Lösung"
 else $UB := \tau(P_{\ell_{\min}}) // U3 \hat{=} \text{obere Schranke am opt. } \tau\text{-Wert}$

Berechne kürzesten Weg $P_{\tau_{\min}}$ lyf τ

if $\ell(P_{\tau_{\min}}) \leq L$ then return $P_{\tau_{\min}}$ // optimal

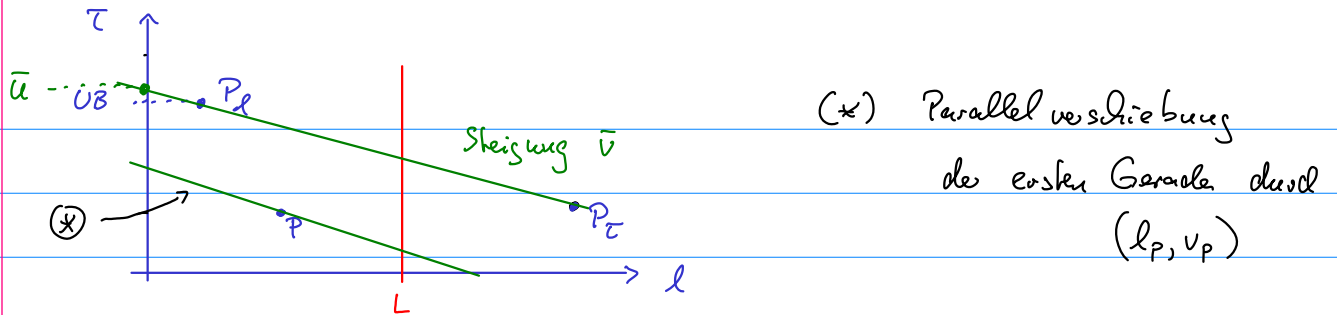
else $P_{\bar{\tau}} := P_{\tau_{\min}} ; P_{\bar{\ell}} := P_{\ell_{\min}}$ // Initialisierung $P_{\bar{\tau}}, P_{\bar{\ell}}$

// $P_{\bar{\tau}}$ und $P_{\bar{\ell}}$ erzeugen erste Gerade $\bar{\tau} = \bar{v}\bar{\ell} + \bar{u}$

// durch die Punkte $P_{\bar{\tau}}, P_{\bar{\ell}}$

// mit Steigung $\bar{v} = (\bar{\tau}(P_{\bar{\tau}}) - \bar{\tau}(P_{\bar{\ell}})) / (\ell(P_{\bar{\tau}}) - \ell(P_{\bar{\ell}})) < 0$

2. Prüfe ob es Punkte (ℓ_p, τ_p) von s,t-Wegen P innerhalb der Geraden gibt



(*) Parallelverschiebung
der ersten Geraden durch
(l_p, v_p)

Ein solcher Pkt entspricht einem Weg P mit

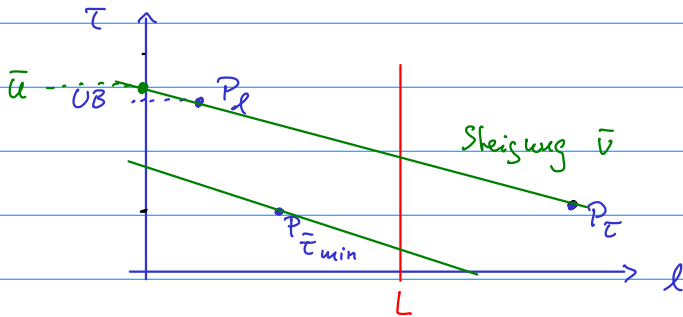
$$\bar{v} l_p + \bar{u} > \bar{\tau}_p \Leftrightarrow \underbrace{\bar{\tau}_p - \bar{v} l_p}_{\text{Weglänge von } P \text{ bzgl.}} < \bar{u}$$

Kantenbewertung $\bar{\tau}_a - \bar{v} l_a$

und kann durch eine kürzeste Wege Berechnung bzgl. $\bar{\tau}_a - \bar{v} l_a =: \bar{\tau}_a$ berechnet werden

Graphisch entspricht das einer Parallelverschiebung der Geraden auf einen bzgl. $\bar{\tau}_a$ extremalen Punkt (dem kürzesten Weg bzgl. $\bar{\tau}_a$)

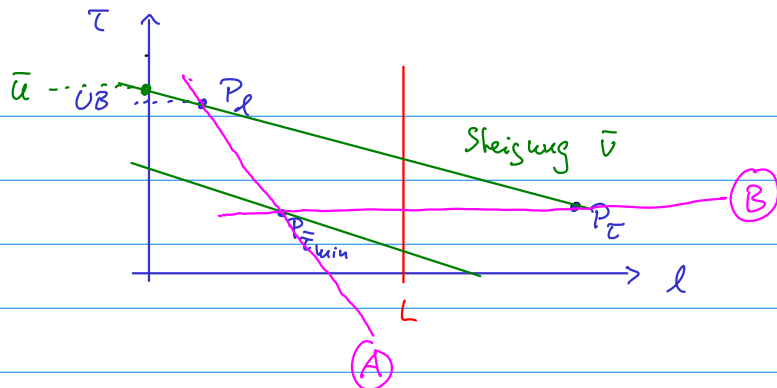
Sei $P_{\bar{\tau}_{min}}$ der neue Pkt bzgl. $\bar{\tau}_a$



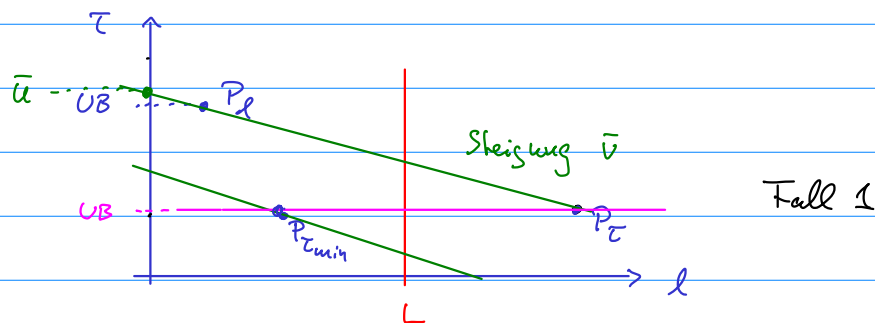
if $\bar{\tau}(P_{\bar{\tau}_{min}}) = \bar{u} \Rightarrow P_{\bar{\tau}_{min}}$ liegt auf der alten Geraden
 \Rightarrow alte Gerade ist optimal
 Schnittpunkt mit $l=L$ ist optimal

else weitersuchen in 3

3. Aktualisiere die alte Gerade durch eine der beiden Geraden $\overline{P_l P_{\bar{\tau}_{min}}}$ oder $\overline{P_{\bar{\tau}_{min}} P_t}$



Frage: Welche der beiden Geraden ist besser, d.h. der Schnittpunkt auf L ist höher?



Fall 1: $P_{\bar{t}_{min}}$ ist links von $l=L$ $\Rightarrow \overline{P_{\bar{t}_{min}} P_T}$ ist besser

Fall 2: $P_{\bar{t}_{min}}$ ist rechts von $l=L$ $\Rightarrow \overline{P_{\bar{t}} P_{\bar{t}_{min}}}$ ist besser



Fall 1: setze $P_{\bar{t}} := P_{\bar{t}_{min}}$ $UB := \tau(P_{\bar{t}_{min}})$

Fall 2: setze $P_T := P_{\bar{t}_{min}}$ UB kann nicht aktualisiert werden

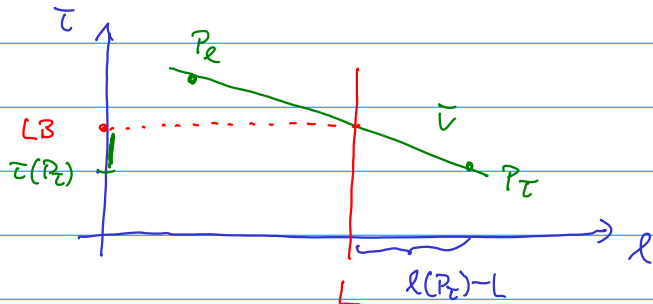
Iteriere mit neuer Geraden $\overline{P_{\bar{t}} P_T}$

Ablösen erfolgt in dem Fall, wenn keine Parallelverschiebung der aktuellen

Geraden mehr möglich ist

Dann ist die berechnete untere Schranke LP an die optimale Länge des CSP

$$LB = \bar{v} (L - l(P_c)) + \bar{c}(P_c)$$



$$LB \leq OPT(CSP)$$

||

Opt Wert der LP-Relaxation

||

Opt Wert der Lagrange Relaxation, da relaxierte Problem in der Lagrange Relaxierung gzz Ecken hat (ist Kürzeste Wege Problem, in Kantenformulierung vollständig unimodular)

Insgesamt bleibt dieselbe "Dualitätslücke" wie bei der Lagrange Relaxation.
Aber die Laufzeit kann klar besser abgeschätzt werden und ist polynomial

4.4 STZ (Schlkorn & Zieglermann 2000)

Der Hillerausatz arbeitet korrekt und hat eine Laufzeit von

$$\mathcal{O}(\underbrace{\log(n \cdot \tau_{\max} \cdot l_{\max})}_{V} \cdot (\underbrace{n \log n + m}_{\text{kürzeste Wege Berechnung}))$$

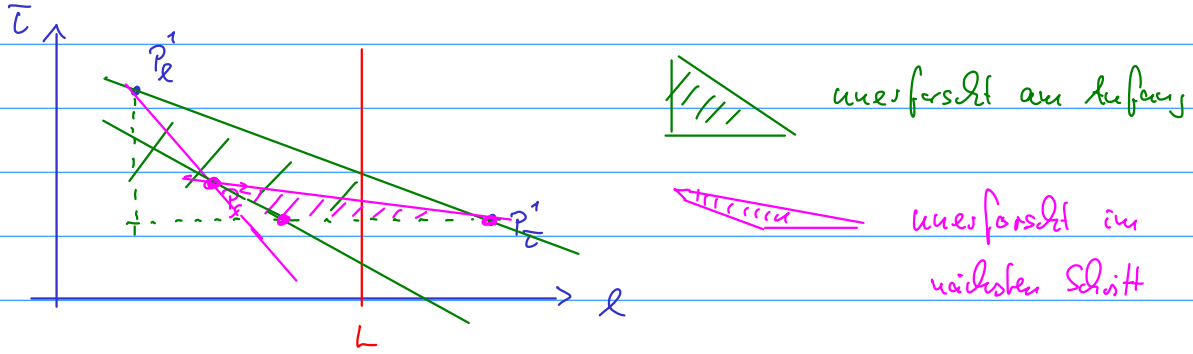
Iterationen

kürzeste Wege Berechnung

$$\text{mit } \tau_{\max} := \max_a \tau_a, \quad l_{\max} := \max_a l_a$$

Beweis: Korrektheit klar aus vorhergehenden Überlegungen

zur Laufzeit: fehlt über die Größe der noch "unverforschten Gebiete" von noch möglichen Punkten (Wegen) unterhalb der momentanen Geraden



Fläche erstes Dreiecks ist maximal $\frac{1}{2}(n \cdot l_{\max})(n \cdot T_{\max})$

Fläche eines solchen Dreiecks ist minimal $\frac{1}{2}$ da alle Dreiecke
(\Rightarrow Punkte) ganzähnlich sind

4.4 Für außen an den folgenden Iterationen gilt $A_{i+1} \leq \frac{1}{4} A_i$

\uparrow Fläche der Dreiecke

Hilfsatz 4.4

\Rightarrow maximal N Iterationen bis $\frac{1}{2} \geq \left(\frac{1}{4}\right)^N \frac{1}{2} \cdot n^2 \cdot l_{\max} \cdot T_{\max}$

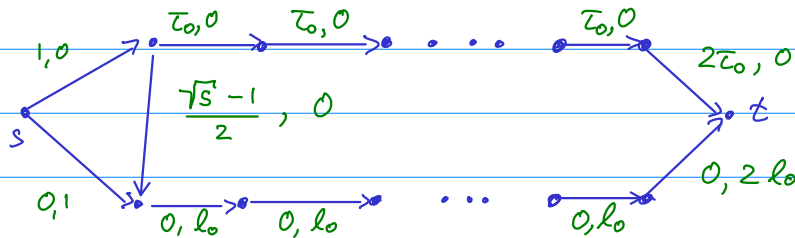
$= O(\log(n \cdot l_{\max} \cdot T_{\max}))$ Iterationen \square

Bemerkung: kann zeigen, dass $O(n \log^2 n)$ Iterationen reichen
(Jüttner 2003) \Rightarrow streng polynomialer Algorithmus

Insgesamt bestimmt der Hillerausatz eine obere Schranke UB und eine untere Schranke LB für OPT(CSP). Die Güte der Schranken kann allerdings i.d. beliebig schlecht werden

4.5

4.5 Beispiel



$$s := 1 + \frac{n}{2} \cdot \tau_0 \quad n := \# \text{ Knoten} \geq 4 \quad \text{gerade}$$

$$L := \frac{n \cdot l_0}{2} \quad l_0 > \tau_0 > 0$$

Aufgabe 4.5 : Zeige

- Hauptaussatz findet $UB = s$ und $LB = \frac{s}{\tau} = \frac{1 + \frac{n}{2} l_0}{\tau_0}$
- Optimalwert = $\frac{\sqrt{s}-1}{2}$
- Approximationsgüte $\frac{OPT}{LB} \in \Omega(\sqrt{n \cdot \tau_0})$

Schließen der Lücke zwischen LB und UB

z.B. durch Pareto Dijkstra, wobei Label (τ, l) verworfen werden,
wenn $\tau \geq UB$, $\tau < LB$, oder $l \geq L$
 \Rightarrow wesentliche Beschleunigung, kleinere Labellisten an Knoten

4.5 Anwendung auf Constrained System Optimierung

$$\min \sum_a \tau_a(x_a(f)) \cdot x_a(f)$$

$$\text{unter } \sum_{P \in P_k^{\epsilon}} f_P = d_k$$

$$\hookrightarrow \{(s_k, t_k)\text{-Pfade } P \text{ mit } \sum_{a \in P} \tau_a(UE_a) \leq (1+\epsilon) L_k\}$$

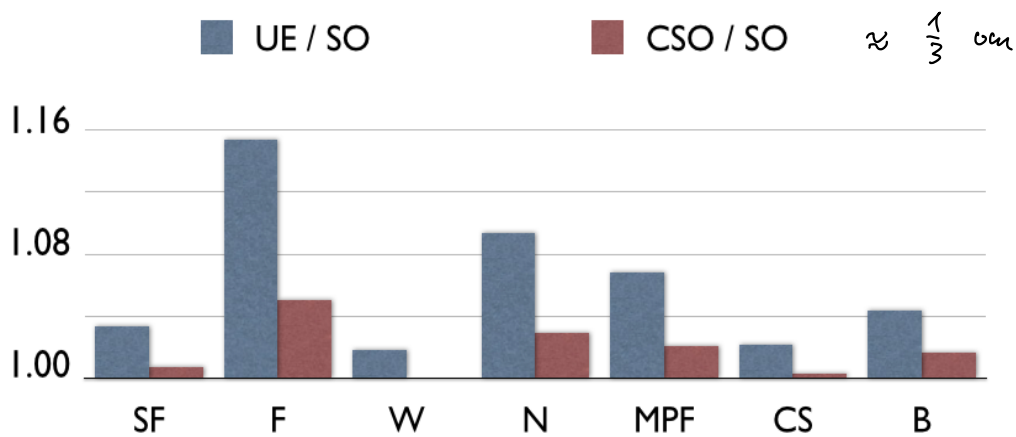
↑
Längenbeschränkung bzgl. $\tau_a(UE_a)$

↓

lineare Problem im Frank-Wolfe folgt zerfällt in # commodity
viele CSP Probleme

Paper Jahn, M., Schulz, Stier → www
CSP gelöst mit Paebos Dijktra

Results for some cities



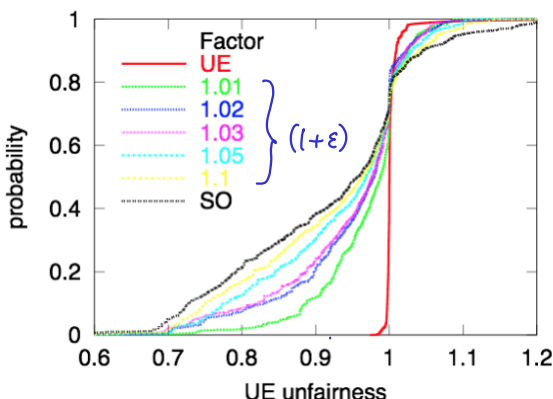
UE / SO

SO ≈ 1.00

SF	Sioux Fall	N	Neukölln
F	Friedrichshain	MPF	Berlin Mitte
W	Winnipeg	CS	Chicago Sketch

B Berlin

Analysis of fairness



- ▶ 75% of the users travel less than in equilibrium
- ▶ Only 0.4% of the users travel 10% more than in equilibrium
- ▶ For the system optimum, these are more than 5%